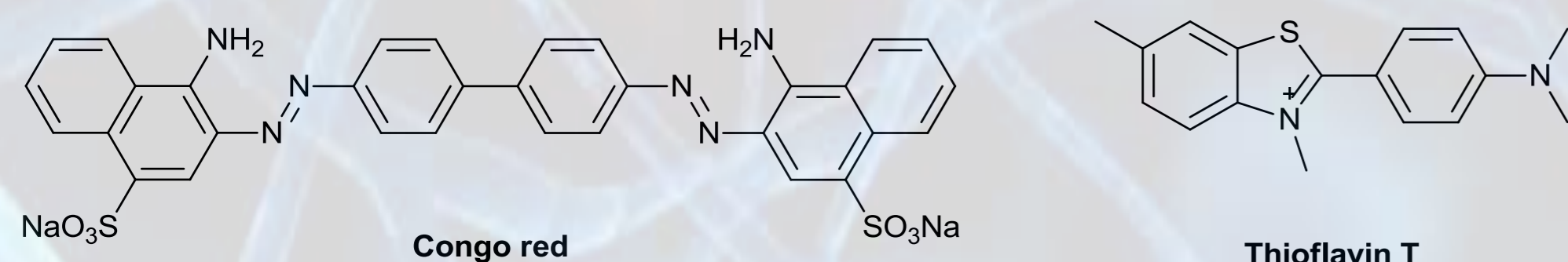


# Formalno podaljšanje strukture DDNP z uvedbo feniletinilidenskih in fenildiazenilidenskih distančnikov

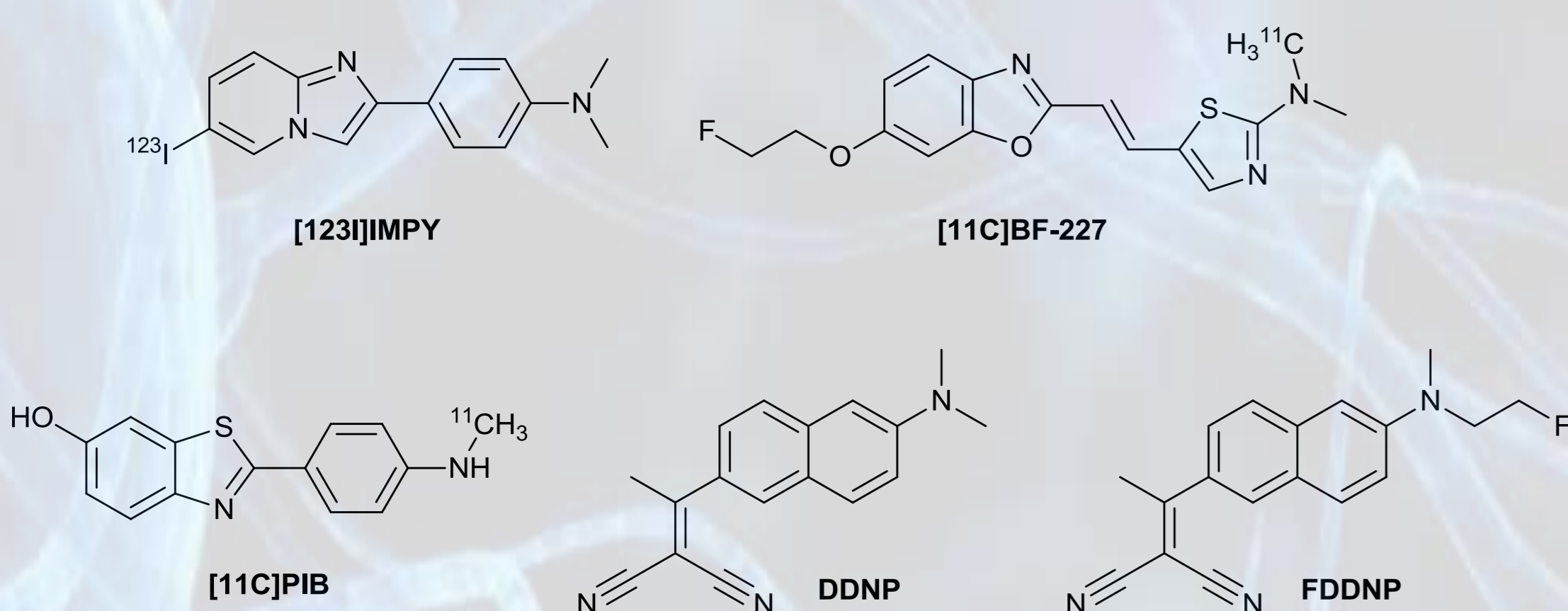
Luka Rejc<sup>\*,1</sup>, Ana Skvarča<sup>1</sup>

<sup>1</sup> Fakulteta za kemijo in kemijsko tehnologijo, Univerza v Ljubljani, Večna pot 113, SI-1000 Ljubljana, Slovenija

## Molekulske sonde za detekcijo proteinskih agregatov



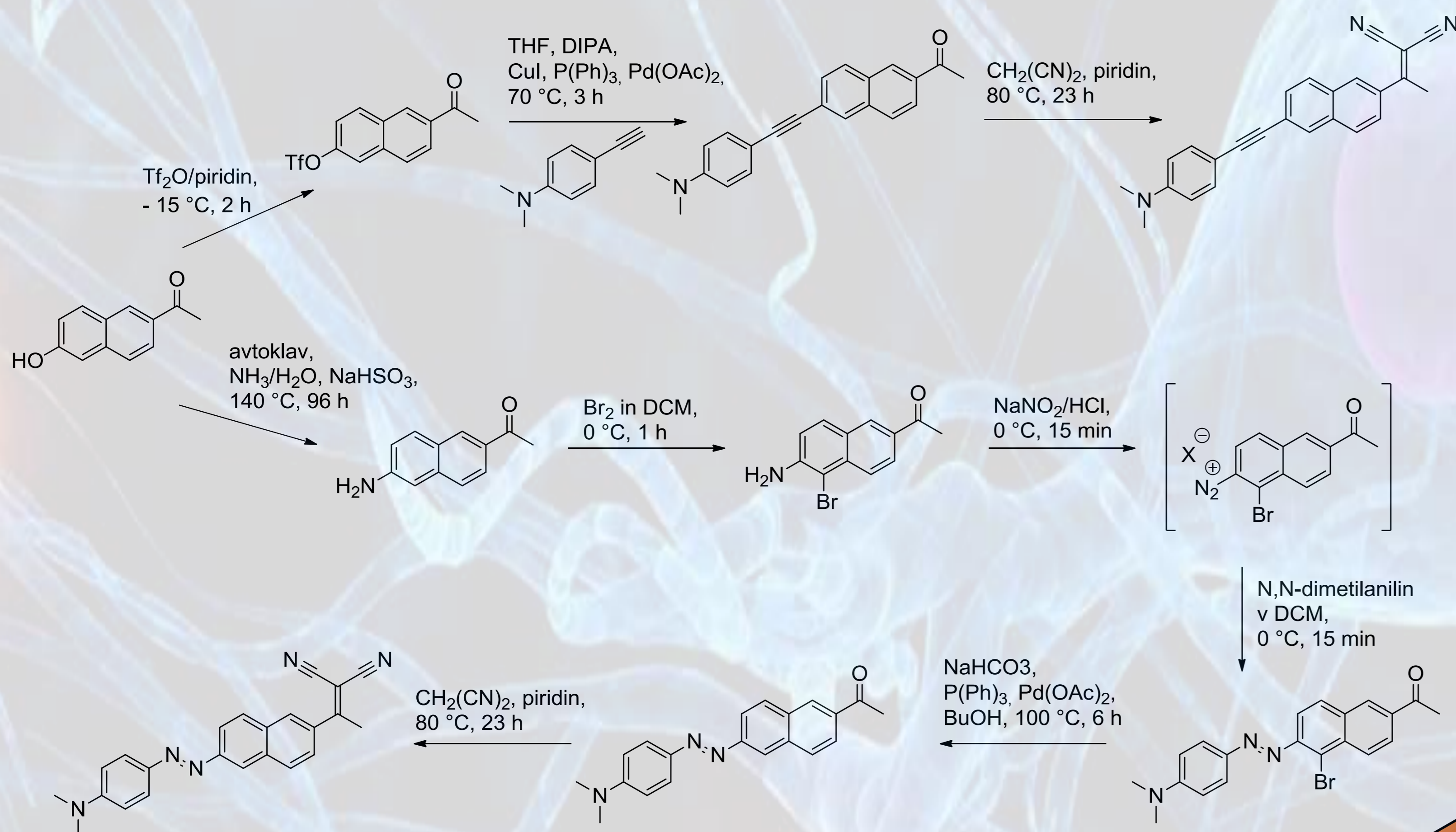
Slika 3. Sonde za *in vitro* detekcijo agregatov Aβ (Kongo rdeče) in HTP (Tioflavin T) <sup>I</sup>



Slika 4. Sonde za *in vivo* diagnostiko neurodegenerativnih bolezni <sup>I, III</sup>

## Sinteza podaljšanih analogov FDDNP in DDNP

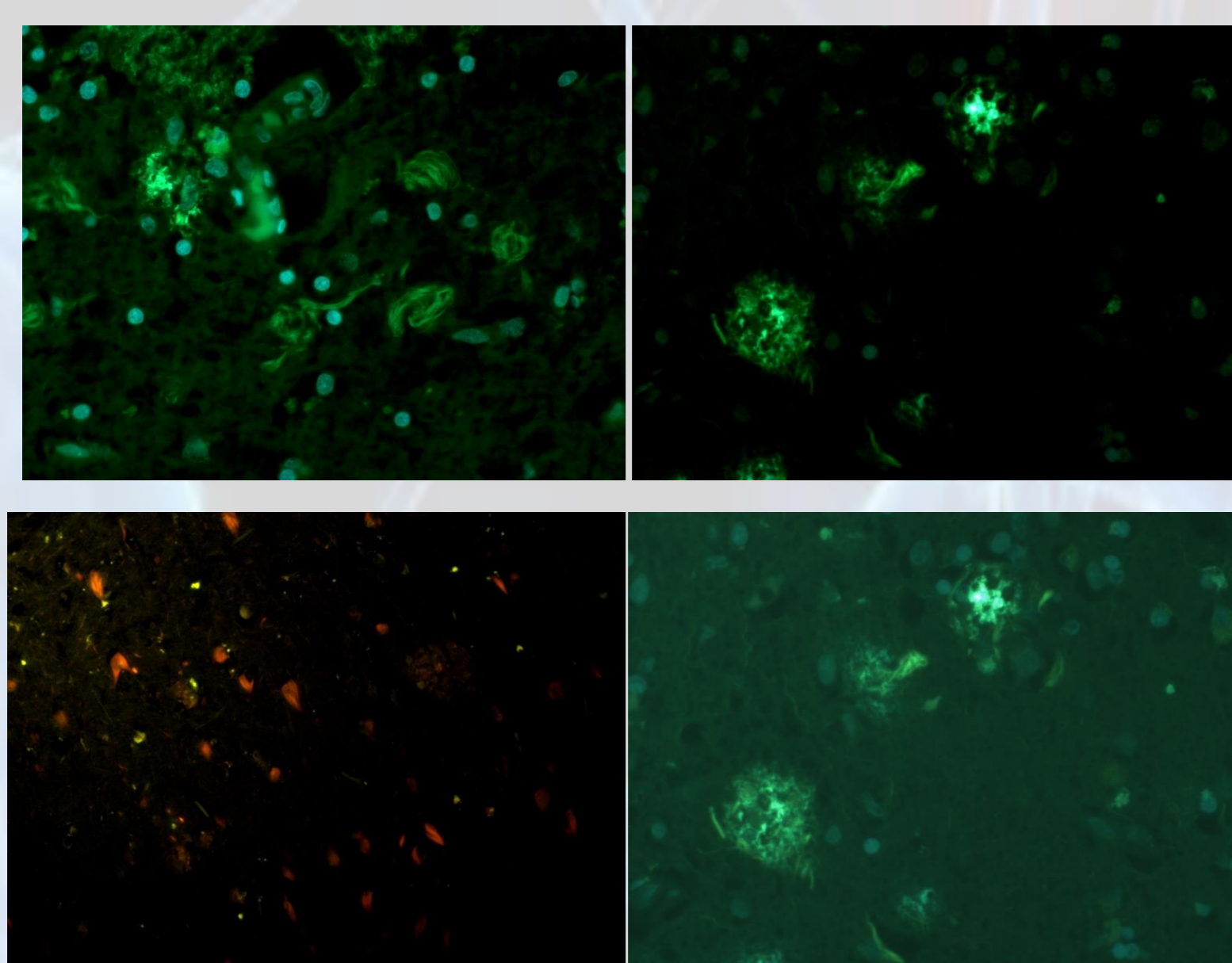
- Aktivacija naftalenskega obroča;
- tvorba diazonijeve soli;
- uvedba acetilena s pomočjo reakcij pripajanja po Sonogashiri s paladijevim katalizatorjem;
- Knoevenaglova kondenzacija diciano vinilne skupine.



Shema 1. Primer sinteze podaljšanih analogov FDDNP in DDNP <sup>II</sup>

## Fluorescenčna mikroskopija

- Uporaba fluorescenčnih molekul;
- zaželena uporaba molekul z maksimumom absorpcije nad 400 nm;
- pregled možganskega tkiva s fluorescenčnim mikroskopom.



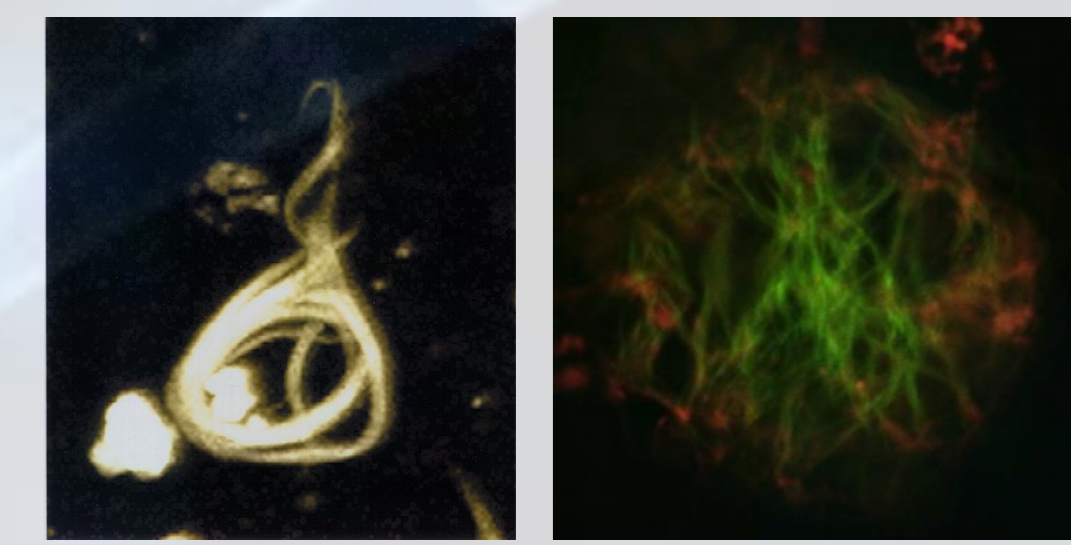
Slika 7. Rezultati označevanja s fluorescenčno mikroskopijo s 3 (zgoraj) in 4 (spodaj)

## Alzheimerjeva bolezen (AB)

- Najbolj pogosta oblika neurodegenerativnih bolezni (NB);
- prizadete kognitivne funkcije;
- pojav konformacijsko spremenjenih proteinskih agregatov v možganih 20-40 let pred prvimi simptomi AB;
- zgodnja zaznava proteinskih agregatov izboljša možnosti za uspešno preprečevanje nadaljnega razvoja bolezni.

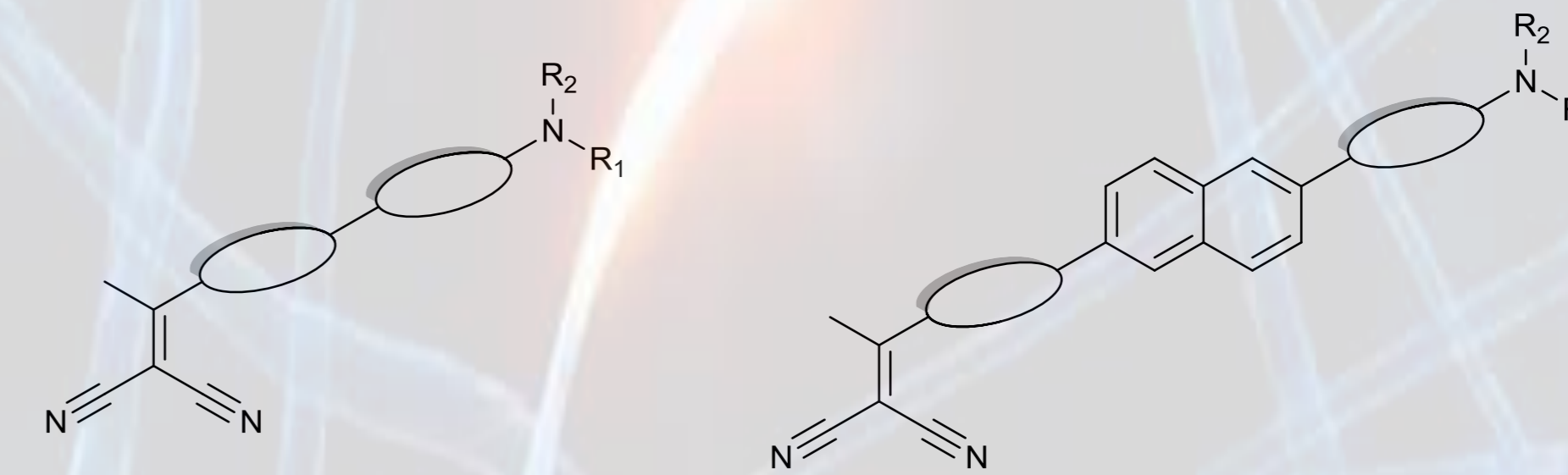


Slika 1. Primer možganov bolnika z AB (zgoraj) in zdravih možganov (spodaj)



Slika 2. Fibrili hiperfosforiliranega tau proteina (HTP) (levo) in plaki amiloida beta (Aβ) (desno)

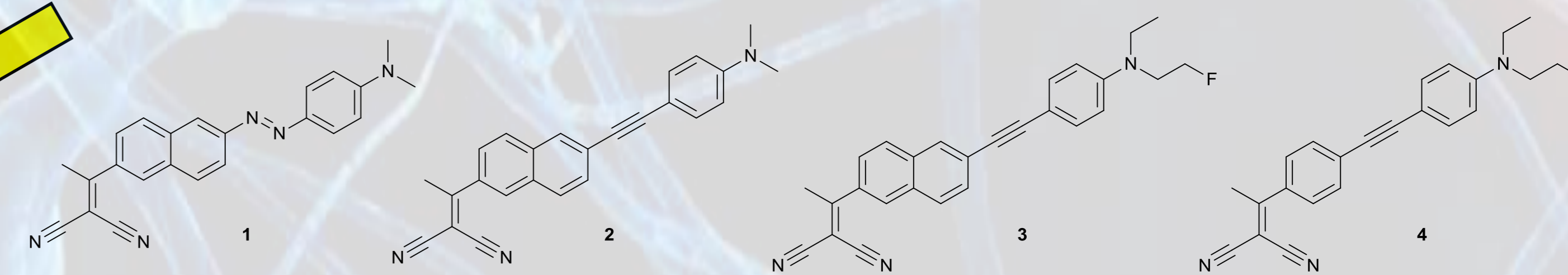
## Načrtovanje novih podaljšanih analogov DDNP in FDDNP



Slika 5. Modelni strukturi podaljšanih analogov

- Podaljšanje razdalje med elektron donorsko (ED) in elektron akceptorsko (EA) skupino;
- ohranitev konjugacije in koplarnosti skupin za optimalne optične in vezavne lastnosti;
- možnost uvedbe radioaktivnega fluora 18 (<sup>18</sup>F) za možnost *in vitro* in *in vivo* raziskav.

## Sintetizirani analogi FDDNP in DDNP

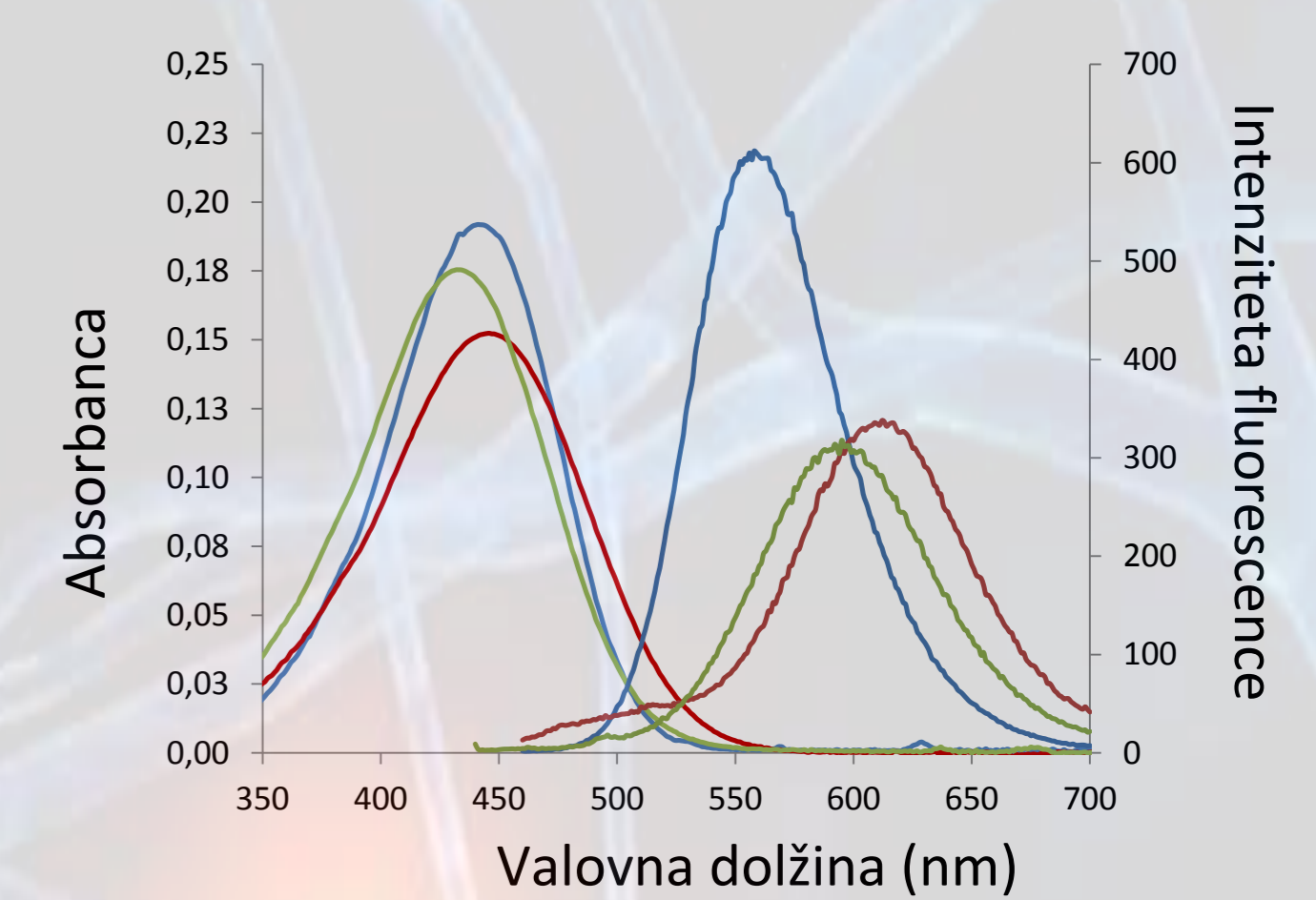


Slika 6. Strukture sintetiziranih podaljšanih analogov DDNP (1, 2) in FDDNP (3, 4)

## Optične lastnosti podaljšanih analogov FDDNP in DDNP

	$\lambda_{ab}$			$\lambda_{em}$		
	DCM	DMF	MeOH	DCM	DMF	MeOH
DDNP	438	-	426	560	-	610
1	470	435	455	-	-	-
2	441	446	432	558	612	595
3	407	-	393	728	-	-
4	411	-	397	654	-	-

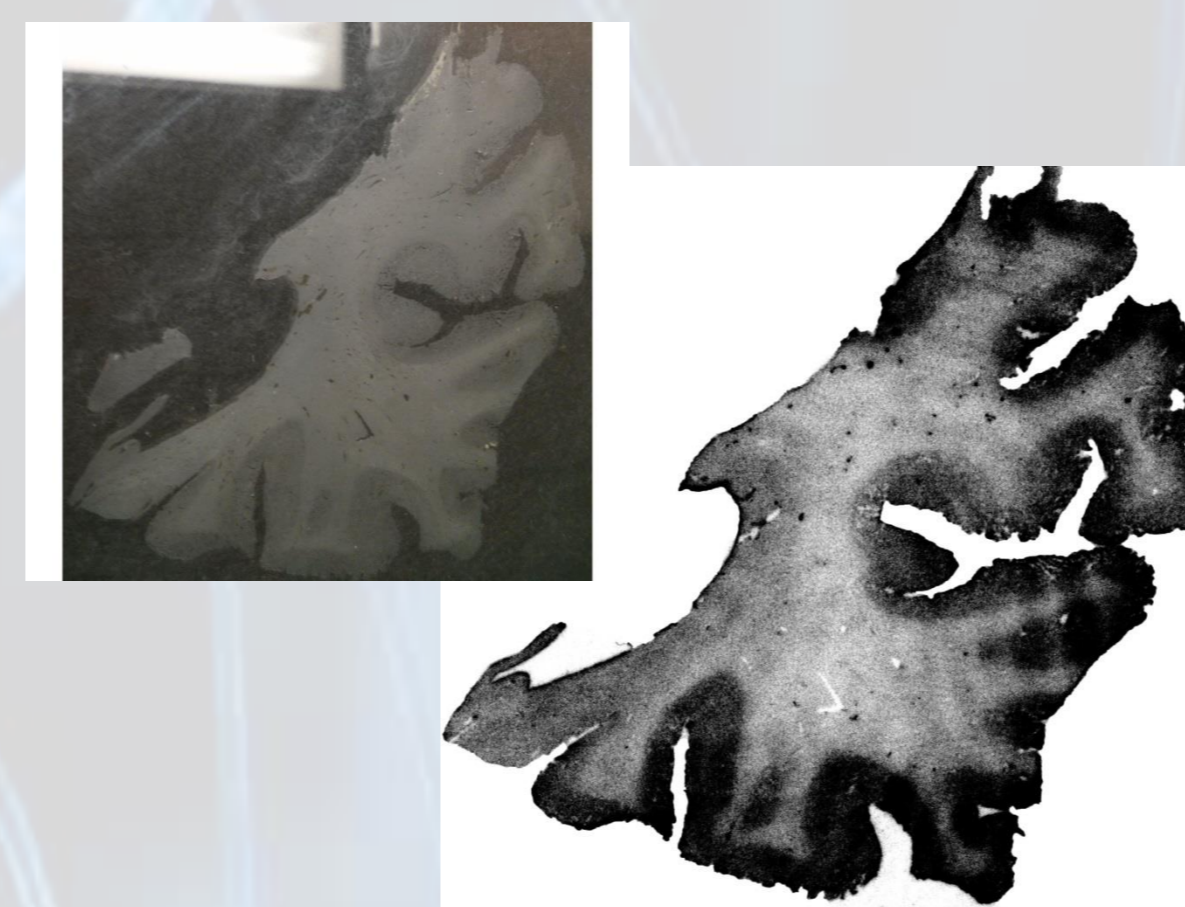
Tabela 1: Primeri podaljšanih analogov DDNP/FDDNP in primerjava optičnih lastnosti



Graf 1. Absorpcijski in fluorescenčni spekter spojine 2 v DCM (modra), DMF (rdeča) in MeOH (zeleni) <sup>II</sup>

## Avtoradiografija

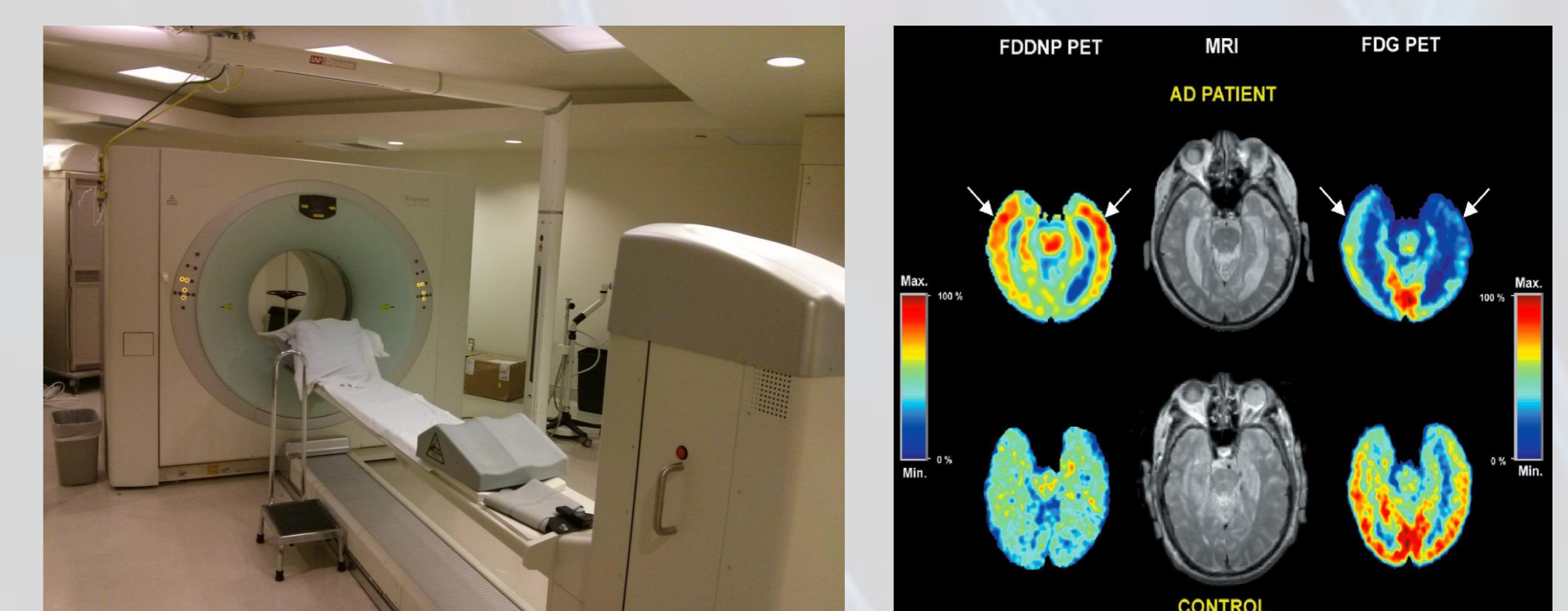
- Uporaba radioaktivno označenih molekul;
- zaznava vezave na avtoradiografski plošči (vsebuje NaI) s pomočjo čitalca.



Slika 8. Rezultati označevanja z avtoradiografijo s 4

## Uporaba v pozitronski emisijski tomografiji (PET)

- Moderna neinvazivna *in vivo* tehnika za diagnostiko bolezni;
- uporaba molekul označenih z emitorji pozitrona, ki preidejo iz krvi v možgane in se specifično vežejo na proteinske agregate.



Slika 9. PET kamera (levo) in PET slikanje z FDDNP (desno: spodaj zdravi možgani, zgoraj možgani AD)

I. JaeHyung, K.; Youngjoo, B., Current status of PET-imaging probes of  $\beta$ -amyloid plaques. *Archives of Pharmal Research*. **2013**, *36*, 1178–1184.

II. Rejc, L.; Fabris, J.; Adrovič, A.; Petrič, A.; Kasunič, M., Elongation of the molecular probe DDNP with phenylethynylidene or phenyldiazenylidene spacers. *Tetrahedron letters*. **2014**, *55*, 1218–1221.

III. Petric, A.; S. A. Johnson, S. A.; Pham, H. V.; Li, Y.; Ceh, S.; Golobic, A.; Agdeppa, E. D.; Timbol, G.; Liu, J.; Keum, G.; Satyamurthy, N.; Kepe, V.; Houk, K. N.; Barrio J. R. Dicyanovinyl naphthalenes for neuroimaging of amyloids and relationships of electronic structures and geometries to binding affinities. *Proc. Natl. Acad. Sci. U.S.A.* **2012**, *109* (41), 16492–16497.